

دراسة تأثير الابعاد التصميمية في انبوب التفريغ للمعجل الكهروحراري على خصائص البلازما المحورية الناتجة

Study the Effect of Dimensional Design inside the Discharge Tube of an Electrothermal Accelerator on Axial produced Plasma

احمد خضير عباس الزبيدي

قسم الفيزياء كلية العلوم جامعة واسط

الشخص فلزياء البلازما موبايل 07804070280 drakamz1970@yahoo.com

الخلاصة //

هذا البحث هو دراسة تأثير الابعاد التصميمية الخاصة بانبوب التفريغ متعد المور للمعجل الكهروحراري واثرها على خصائص ومعلمات التفريغ في هذا المعجل. ان دراسة نظرية شاملة اعتمادا على بحوثنا السابقة وبحوث عالمية مختبرية حول هذا الموضوع قد تم اجراءها لحالة التفريغ المحوري في انبوب التعجيل المحوري للمعجل الكهروحراري تحت ظروف الضغط الواطيء. هذه الدراسة تمت اعتمادا على نموذج المائع المحوري في البعد الواحد (one-dimensional axial fluid model). ان هذا النوع من مصادر البلازما الناتجة داخل انباب التفريغ متعد المور من هذا النوع ، والتي تسمى ايضا ببلازما الموجة السطحية (surface wave plasma) هي نوع جديد مقارنة مع البلازما الاسطوانية في المعجلات القديمة والتي تعزز بواسطة موجة سطحية كهرومغناطيسية. في التركيب متعد المور فان الانبوب العازل يكون مملوء بالهواء تحت الضغط الاعتيادي ويتم ترتيب وادخال قضيب معدني في محوره المركزي. ان البلازما يتم انتاجها خارج الانبوب العازل في حجرة واطئة الضغط بواسطة موجة كهرومغناطيسية تنتقل على طول السطح البيني للعازل والبلازما. حيث تكون البلازما الناتجة هنا غير متجانسة شعاعياً ومحورياً. ان الجزء الاساسي في دراستنا هذه تتركز حول الدور الذي تلعبه انصاف اقطار كل من الانبوب العازل والقضيب المعدني على خصائص البلازما الناتجة خلال انبوب التفريغ، في ضوء نموذج البعد الواحد.

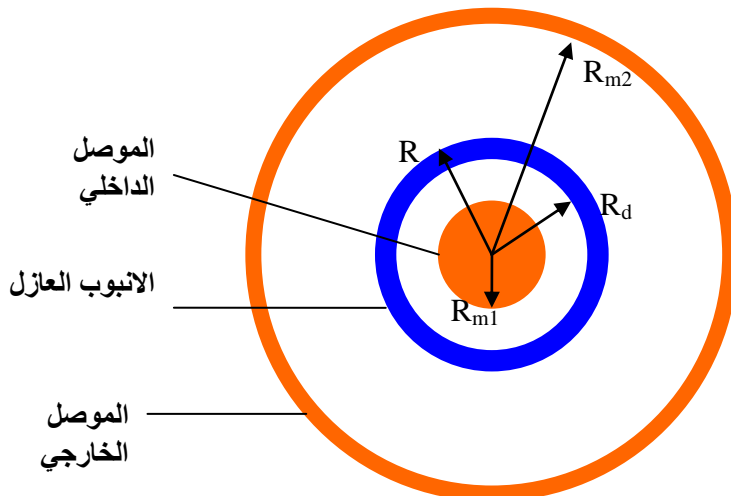
Abstract

This paper is a study of the effect of the dimensional design factors of the discharge tube inside an Electrothermal Accelerator on the axial plasma produced inside the tube. A theoretical approach has been investigated on the base of our previous experimental researches and on the base of universal researches in this field. A low-pressure coaxial discharge is investigated theoretically on the base of one-dimensional axial fluid model. This type of surface-wave-plasma source is relatively new in comparison to the classical cylindrical plasma column sustained by an electromagnetic surface wave. In the coaxial structure the dielectric tube is filled with air at normal pressure and a metal rod is arranged at its axis. The plasma is produced outside the dielectric tube in a low-pressure chamber by an electromagnetic wave traveling along the plasma-dielectric interface. The plasma is both radially and axially inhomogeneous. In this paper we have investigated theoretically the role of metal rod and dielectric tube radii on the wave and plasma characteristics on the base of one-dimensional axial fluid model.

المقدمة //

ان هذا البحث هو دراسة تكميلية لبحوثنا السابقة الخاصة بالمعجل الكهروحراري . ففي التركيب التقليدي لبحوثنا السابقة الخاصة بالمعجل الكهروحراري كان انبوب التفريغ عبارة عن انبوب شعري (capillary tube) مصنوع من مادة البولي اثنين واطيء الكثافة وفي نهايته يرتبط الانود من جهة والكافود المجوف من الجهة الاخرى وتحدد عملية التفريغ بين الانود والكافود وتحول مادة البولي اثنين المكونة للانبوب الشعري الى بلازما محورية (axial plasma) نتيجة لدرجات الحرارة العالية جدا الناتجة من عملية التفريغ ومن ثم حدوث ما يسمى تفريغ الضغط العالي المحصور (confined high pressure discharge) الذي يؤدي الى تعجيل القذائف الى سرع كبيرة جدا تقدر ما بين 4 كم/ث الى 5 كم/ث [1,2,3]. اما في بحثنا هذا فتتم دراسة تقنية جديدة في تصميم انبوب التفريغ للمعجل وهذه التقنية هي ما يسمى التركيب متعد المور لانبوب التفريغ الكهربائي في المعجل

الكهرباري حيث ان الانبوب العازل مملوء بالهواء تحت الضغط الاعتيادي وان قضيبا معدنيا يتم ادخاله في محور الانبوب العازل (الشكل رقم 1). ان البلازما يتم انتاجها خارج الانبوب العازل في حجرة واطئة الضغط بواسطة موجة كهرومغناطيسية تنتقل على طول السطح البيني بين العازل والبلازما وان البلازما الناتجة شعاعيا ومحوريا هنا تكون بلازما اسطوانية غير متجلسة. ولما كانت البلازما الناتجة في هذه الحالة تعمل وكأنها موصل خارجي، لذلك فان هذا النوع من التفريغ يسمى التفريغ متعدد المحور. ان عملية التفريغ في التركيب متعدد المحور قد تمت دراستها على ضوء النموذج المحوري للمائع في البعد الواحد (one-dimensional axial fluid model) حيث ان هذا النوع من البلازما المسمى ببلازما الموجة السطحية (SWP) هي نوع جديد نسبيا مقارنة مع البلازما الاسطوانية الكلاسيكية المدعومة من قبل موجة سطحية كهرومغناطيسية [4,5,6,7]. ومن الممكن ايضا انتاج البلازما في الفضاء الحر (تحت الضغط الجوي) بدون الحاجة الى حجرة التفريغ. وفي كل الاحوال فان الجزء الاساسي من التركيب متعدد المحور هو القصيب المعدني والانبوب العازل بالإضافة الى البلازما الناتجة خارج الانبوب. وفي هذا البحث تتركز دراستنا على تحليل الدور الذي تلعبه انصاف اقطار كل من القصيب المعدني والانبوب العازل وتاثيرات ابعادها التصميمية على خصائص البلازما الناتجة.



الشكل رقم (1) يوضح مقطع عرضي لانبوب التفريغ المحوري للمجل الكهرومغناطيسي

النموذج الاساسي

في نموذجنا في هذا البحث نفترض بان الحالة المستقرة للبلازما تحت الضغط الثابت تكون معززة بموجة كهرومغناطيسية متاظرة سميتيا (azimuthally symmetric EM wave) ، تنتقل على طول السطح البيني بين البلازما والغاز. ان موجة المجال الكهربائي سوف تعمل على تسخين الالكترونات وبالتالي سوف تمتضط طاقة الموجة. ونتيجة لذلك فان طاقة الموجة سوف تنقل على طول العمود البلازمي. ان كثافة البلازما سوف تتراقص ايضا وسوف تصبح البلازما غير متجلسة محوريا. وقد تم الاعتماد على معدل رقم الكثافة الالكترونية بينما افترضنا بان كثافة البلازما و الرقم الموجي k_z وسعة الموجة هي دوال بطيئة التغير في الاحاديث المحورية. كما تم الافتراض بان البلازما هي وسط ضعيف التبدد وان حد التصادم في النفاذية

الكهربائية للبلازما يكون مهملا، اي ان النفاذية الكهربائية للبلازما تكتب بالصيغة $\omega_p^2 = (4\pi\epsilon_0 n/m)^{1/2} \epsilon_p = 1 - \frac{\omega_p^2}{\omega^2}$ ، حيث ان $\omega_p^2 = (4\pi\epsilon_0 n/m)^{1/2}$ هي كثافة البلازما، n هي كثافة الالكترون وان m هي كتلة الالكترون.

ان نموذجنا النظري مبني اعتمادا على علاقة التشتت الموضعية ومعادلة موازنة طاقة الموجة المستحصلة من معادلات ماكسويل. فمن معادلات ماكسويل تكون معادلة الموجة في الاحاديث الاسطوانية (r, φ, z) بالشكل التالي[8]:

$$\frac{1}{r} \frac{\partial}{\partial r} \left(r \frac{\partial E_z}{\partial r} \right) + \frac{\partial^2 E_z}{\partial z^2} + \frac{1}{r^2} \frac{\partial^2 E_z}{\partial \varphi^2} + \frac{\omega^2}{c^2} \epsilon E_z = 0 \quad (1)$$

حيث ان E_z هي مركبة المجال الكهربائي باتجاه محور z ، ω هي النافذية الكهربائية، φ التردد الزاوي، c هي سرعة الضوء في الفراغ. وعند الاخذ بنظر الاعتبار افتقراضتنا الرئيسية اعلاه فان الحلول الممكنة للمعادلة (1) يكون بالشكل:

$$E_z(r, \varphi, z, t) = \operatorname{Re} \left[F_z(r, z) E(z) \exp \left(-i\omega t + i \int_0^z dz' k(z') + im\varphi \right) \right] \quad (2)$$

حيث ان F_z هي دالة السعة وتمثل مجموع دوال بازل (Bessel Functions) لمختلف الاوساط. ان الشروط الحدوية هنا هي شروط الاستمرارية للمركبات المماسية للمجال الكهرومغناطيسي عند السطح البيني للبلازما والغاز وذلك شرط عدم وجود مركبة المجال E_z على القصيب المعدني. ومن هذه الشروط الحدوية نحصل على علاقة التشتت الموضعية والتي تكتب بشكل رمزي كالتالي [9]:

$$D(\omega, k_z, R, \varepsilon_p, \eta) = 0 \quad (3)$$

حيث ان R هو نصف قطر البلازما، $R = R_{m1}$ ، $\eta = R_{m1}/R$ هو نصف قطر الانبوب المعدني. كذلك فان معادلة موازنة طاقة الموجة لنفس الشروط الحدوية هي [10] :

$$\frac{dS}{dz} = -Q \quad (4)$$

حيث ان S هو فيض طاقة الموجة ويعطى بالعلاقة [11,12] :

$$S = \frac{c}{8\pi} \operatorname{Re} \int_0^{2\pi} d\varphi \int_0^{R_d} dr r (E^* \times B) \bullet \hat{z} \quad (5)$$

حيث ان Q هي قدرة الموجة بوحدة الطول والممتصة من قبل الالكترونات. وعند ضغط واطيء للغاز فان عملية انتاج الجسيمات المشحونة بصورة عامة هي تأين مباشر من المستوى الارضي وان فقدان الالكترونات هو نتيجة لانتشارها وتشتيتها على الجدران. وفي هذه الحالة فان Q ، حيث ان n_e هي كثافة الالكترونات. ولما كانت البلازما غير متGANSAة محوريًا فان علاقة التشتت الموضعية تعطي علاقة الارتباط بين كثافة البلازما المعايرة (normalized plasma density) (N) حيث ان $N = n_e / n_{cut off}$ ، $n_{cut off} = m\omega^2 / 4\pi e^2$ ، $\omega / \omega_p = 1 / \sqrt{N}$ وبين العدد الموجي غير البعدي ($k_z R$)، والتي تسمى بمخططات الطور. وبذلك فقد تم الحصول على مخططات الطور والخصائص المحورية للموجة وخصائص البلازما الناتجة. ان التغيرات الشعاعية (نصف القطرية) والمحورية لمكونات مجال الموجة قد تم حسابها ايضا، حيث ان المعلمات الثلاثة التي تحدد تصميم التركيب متحد المحور تتمثل بالجدول التالي:

المعلمات	الرموز	العوامل التصميمية
$\sigma = \omega R/c$ (حيث ان c هي سرعة الضوء)	R	نصف قطر البلازما
$\gamma = R_d / R = 1 - d/R$	R_d	نصف قطر الانبوب العازل
	$d = R - R_d$	سمك الانبوب العازل
$\eta = R_{m1} / R$	R_{m1}	نصف قطر القصيب المعدني في المركز
$\zeta = R_{m2} / R$	R_{m2}	نصف قطر الحاجز المعدني

جدول رقم(1) يبين العوامل التصميمية والمعلمات المتعلقة بها في انبوب التفريغ متحد المحور للمجال الكهرومغناطيسي

النتائج والمناقشة

في بحثنا هذا قمنا بحل معادلة التشتت الموضعى ومعادلة موازنة طاقة الموجة عديما وذلك عند قيم ثابتة لتردد البلازما ω_p مع اختيار مختلف القيم للتعدد الزاوي σ ومن ثم برمجتها بواسطة الحاسوب حيث تم الحصول على مختلف القيم لمنحنى التشتت لقيم عمود بلازمي معطاة وكذلك تم الحصول على مختلف المظاهر المحورية للتفريغ لكتافة البلازما المعايرة، العدد الموجى، قدرة الموجة ومركبات مجال الموجة. كما قمنا بدراسة انصاف الاقطار الخارجية لاثنين من الانابيب العازلة وهى 2.4 cm و 1 cm والتي تناظر $\sigma = 0.513$ و $\sigma = 1.23$ على افتراض ان γ تكون نفسها للحالتين $\gamma = 0.85$. وعند انصاف اقطار مثبتة للانبوب العازل (المعلمات σ و γ) فان سمك القصبي المعدنى (المعلم η) يكون متغيراً . ان القيم العددية المستحصلة للشكليين (2-a,b) و (3-a,b) مدرجة في الجدولين (2) و(3).

$\eta = 0.84$		$\eta = 0.8$		$\eta = 0.6$		$\eta = 0.2$	
$k_z R$	ω/ω_p	$k_z R$	ω/ω_p	$k_z R$	ω/ω_p	$k_z R$	ω/ω_p
0.25	0.07	0.25	0.125	0.25	0.25	0.05	0.5
0.5	0.18	0.53	0.275	0.5	0.475	0.1	0.55
1	0.26	1	0.35	1	0.56	0.25	0.7
1.5	0.3	1.5	0.39	1.5	0.58	0.6	0.75
2	0.33	2	0.42	2	0.58	1.09	0.72
2.5	0.35	2.5	0.44	2.5	0.578	2	0.66
3	0.37	3	0.46	3	0.57	3	0.6
3.5	0.387	3.5	0.47	3.55	0.556	4	0.57
4	0.4	4	0.48	3.99	0.55	5	0.54
4.5	0.416	4.5	0.49	4.5	0.54		
5	0.43	5	0.495	5	0.531		

جدول رقم 2- a يبين مختلف القيم العددية للنسبة بين التعدد الزاوي والتعدد البلازمي ω/ω_p مع مختلف القيم العددية للعدد الموجى غير البعدى $k_z R$ وذلك لقيم مختلفة لسمك القصبي المعدنى عندما تكون $\gamma = 0.85$ ، $\sigma = 0.513$.

$\eta = 0.84$		$\eta = 0.8$		$\eta = 0.6$		$\eta = 0.2$	
ζ	N	ζ	N	ζ	N	ζ	N
0	6	0	5	0	4	0	3
2.42	34.7	2.5	20.4	2.5	6	2.5	3.25
5	51.3	5	27.4	5	8	5	3.5
7.5	63.2	7.5	32.7	7.5	10	7.5	3.75
10	76.7	10	38.5	10	11	10	4
11.85	87.6	12.79	44.2	12.5	13	12.5	4.25
13.5	100	15	49.6	15	14	15	4.5
		17.5	57.5	17.5	16	17.5	4.75
		20	70	20	18	20	5

جدول رقم b- 2 يبين مختلف القيم العددية لكتافات البلازما المحورية المعايرة N ضد مختلف القيم العددية للنسبة بين نصف قطر الحاجز المعدنى الى نصف قطر البلازما عند $\gamma = 0.85$ ، $\sigma = 0.513$ و مختلف القيم لسمك القصبي المعدنى

حيث يتبع من الشكلين (a,b) و (3) بأنه عندما تكون القيم صغيرة لـ η (قضيب معدني رفيع) فإن مخطوطات الطور تعبر النطاق $1/\epsilon_d^{1/2}$ والذى يناظر قيم الرنين لكتافة البلازما $n_{res} = 1 + \epsilon_d$ حيث ان ϵ_d هي السماحية الكهربائية لمادة الانبوب العازل. وانها سوف تمر خلال المنطقة فوق هذا النطاق عندما يكون $n_e < n_{res}$ (اللازم اقل كثافة) وان منطقة تقدم الموجة الخلفية سوف تظهر بعد اعظم قيمة للمنحنى.

ان الحسابات تبين لنا بأنه عند اعظم قيمة من طور المنحنى فان قدرة الموجة تصبح صفراء وفي منطقة تقدم الموجة الخلفية تكون سالبة. وهذا يعني بان البلازمما تتواجد فقط في منطقة تقدم الموجة الامامية وان النهاية الحقيقية لعمود البلازمما يكون عند اعظم منحنى للطور. ومع زيادة سمك القضيب المعدني فان مخطوطات الطور تتحرك للأسفل، والذى يناظر الزيادة في كثافة البلازما. ان الاشكال (2, 3-b) لا تبين المزيد من اي تقدم خلفي للموجة ولا يمكن ملاحظة اي منطقة بلازمما اقل كثافة لللازم الممحورية تحت نفس ظروف التفريغ حيث ان القيم العددية للشكل رقم 3 مدرجة بالجدولين (3-a, 3-b).

$\eta = 0.6$		$\eta = 0.8$		$\eta = 0.84$		$\eta = 0.2$	
$k_z R$	ω/ω_p	$k_z R$	ω/ω_p	$k_z R$	ω/ω_p	$k_z R$	ω/ω_p
1.57	0.1	2	0.05	2.34	0.05	1.3	0.127
1.63	0.184	2.11	0.109	2.66	0.14	1.29	0.2
1.7	0.24	2.25	0.176	2.84	0.19	1.27	0.25
1.75	0.278	2.36	0.211	3.25	0.264	1.29	0.3
1.83	0.315	2.58	0.268	3.54	0.296	1.29	0.324
1.95	0.36	2.88	0.317	3.96	0.328	1.36	0.4
2.2	0.427	3.22	0.356	4.65	0.37	1.46	0.45
2.45	0.46	3.8	0.4	5	0.391	1.75	0.529
3.15	0.5	5	0.44			2.4	0.55
5	0.5					3	0.546
						3.5	0.54
						4.03	0.529
						5	0.507

جدول رقم 3- a يبين مختلف القيم العددية للنسبة بين التردد الزاوي والتردد البلازمي ω/ω_p مع مختلف القيم العددية للعدد الموجي غير البعدي $k_z R$ وذلك لقيم مختلفة لسمك القضيب المعدني عندما تكون $\sigma=1.23$ ، $\gamma=0.85$

$\eta = 0.84$		$\eta = 0.8$		$\eta = 0.6$		$\eta = 0.2$	
ζ	N	ζ	N	ζ	N	ζ	N
0	0	0	0	0	0	0	0
2.5	42	2.5	24	2.5	10	2.5	1
5	105	5	62	5	15	5	2
7.5	190	7.5	105	7.65	25	7.5	3
10	325	10	160	11.6	50	10	4
12.5	500	12.43	223	12.97	60	12.5	5
		15.14	320	15.18	75	15	6
		17.5	425	17.5	90	17.5	7
		18.75	500	20	110	20	8

جدول رقم b-3 يبين مختلف القيم العددية لكتافات البلازمما الممحورية المعايرة N ضد مختلف القيم العددية للنسبة بين نصف قطر الحاجز المعدني الى نصف قطر البلازمما عند $\sigma=0.85$ ، $\gamma=1.23$ و مختلف القيم لسمك القضيب المعدني

ان الاعتماد على كل من σ و η موضح بالشكلين (4-a, 4-b) مع القيم العددية لها في الجدولين التاليين (4-a, 4-b):

$\sigma=0.513, \eta=0.2$		$\sigma=1.23, \eta=0.2$		$\sigma=0.513, \eta=0.8$		$\sigma=1.23, \eta=0.8$	
$k_z R$	ω/ω_p	$k_z R$	ω/ω_p	$k_z R$	ω/ω_p	$k_z R$	ω/ω_p
0.02	0.446	1.3	0.22	0.225	0.12	2	0.05
0.05	0.51	1.5	0.35	0.5	0.297	2.5	0.22
0.07	0.566	2	0.55	1	0.382	3	0.325
0.09	0.605	2.5	0.56	1.5	0.418	3.42	0.375
0.1	0.63	3	0.545	2	0.435	4	0.42
0.2	0.7	3.5	0.535	2.43	0.45	5	0.44
0.5	0.75	4.07	0.52	2.93	0.46		
1	0.72	4.5	0.506	3.5	0.464		
1.5	0.683	5	0.496	4	0.474		
2	0.644			4.5	0.478		
2.37	0.612			5	0.485		
3	0.577						
3.5	0.56						
4	0.54						
4.5	0.53						
5	0.517						

جدول رقم 4 يوضح مختلف القيم العددية للعلاقة بين مخططات الطور عند $\gamma=0.85$ و مختلف القيم لاصف اقطار البلازما و مختلف القيم لسمك القضيب المعدني

$\sigma=1.23, \eta=0.8$		$\sigma=0.513, \eta=0.8$		$\sigma=1.23, \eta=0.2$		$\sigma=0.513, \eta=0.2$	
ζ	N	ζ	N	ζ	N	ζ	N
0	0	0	0	0	0	0	0
2.5	23	2.5	11	2.5	5.5	2.5	0.4
5	57	5	21	5	8.5	5	0.8
7.5	105	7.5	30	7.5	11.5	7.5	1.2
10	167	10.34	38	10.37	12	10	1.6
12.5	250	12.5	43	12.84	15	12.5	2
		15	51	15.21	19	15	2.4
		17.5	59	17.5	23.5	17.5	2.8
		20	70	20.2	32	20	3.4

جدول رقم b يوضح مختلف القيم العددية للعلاقة بين مظاهر مختلفة لكثافات البلازما المحورية عند $\gamma=0.85$ و مختلف القيم لاصف اقطار البلازما و مختلف القيم لسمك القضيب المعدني

حيث يتضح بان افضل الظروف لانتاج البلازما بكثافة عالية نحصل عليها عندما تكون σ و η عالية، اي انه يجب ان يكون لدينا انبوب واسع وبداخله قضيب معدني سميك ($\sigma=1.23$ و $\eta=0.8$). وعندما يكون نصف قطر الانبوب اصغر ($\sigma=0.513$ و $\eta=0.8$) والقضيب المعدني الذي بالداخل يكون سميك ($\sigma=0.2$ و $\eta=0.8$) فان كثافة البلازما تكون اعلى من الحالة التي يكون فيها الانبوب واسع والقضيب المعدني في الداخل رفيع ($\sigma=0.2$ و $\eta=0.2$). ان اسوأ ظروف لانتاج البلازما واقل كثافة للبلازما هي عندما يكون الانبوب بنصف قطر صغير مع قضيب معدني رفيع في الداخل ($\sigma=0.513$ و $\eta=0.2$).

مجلة جامعة كريلاء العلمية – المجلد الثامن - العدد الثاني / علمي / 2010

ان المظاهر المحورية لمركبة المجال الكهربائي E_z يمكن ملاحظتها في الشكل رقم (5) وبنفس الظروف السابقة للشكل رقم (4)، كما ان القيم العددية يمكن ملاحظتها في الجدول رقم (5).

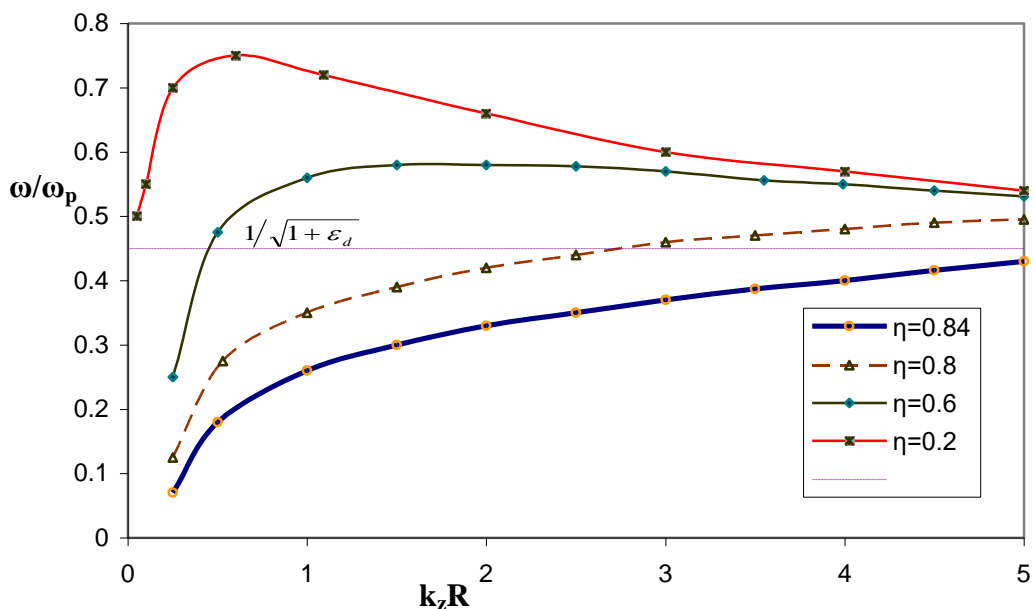
$\sigma=1.23, \eta=0.8$		$\sigma=1.23, \eta=0.2$		$\sigma=0.513, \eta=0.8$		$\sigma=0.513, \eta=0.2$	
ζ	E_z	ζ	E_z	ζ	E_z	ζ	E_z
0	1.6	0	1.3	0	1	0	0.55
2.5	2.6	2.77	1.59	0.68	0.55	1.25	0.3
5	3.25	5	1.8	2.5	0.5	2.5	0.3
7.5	3.72	7.5	2.04	5	0.6	5	0.36
10	4.18	10	2.24	7.5	0.65	7.5	0.45
12.5	4.51	12.5	2.4	10	0.7	10	0.5
15	4.83	15	2.5	12.5	0.75	12.5	0.55
16.8	5	17.58	2.52	15	0.76	15	0.56
		20	2.6	17.5	0.77	17.5	0.57
				20	0.78	20	0.58

جدول رقم 5 يوضح القيم العددية بين مظاهر مختلفة لمركبة المحور-z للمجال الكهربائي عند $\eta=0.85$ و مختلف القيم لانصاف اقطار البلازما ومختلف القيم لسمك القضيب المعدني

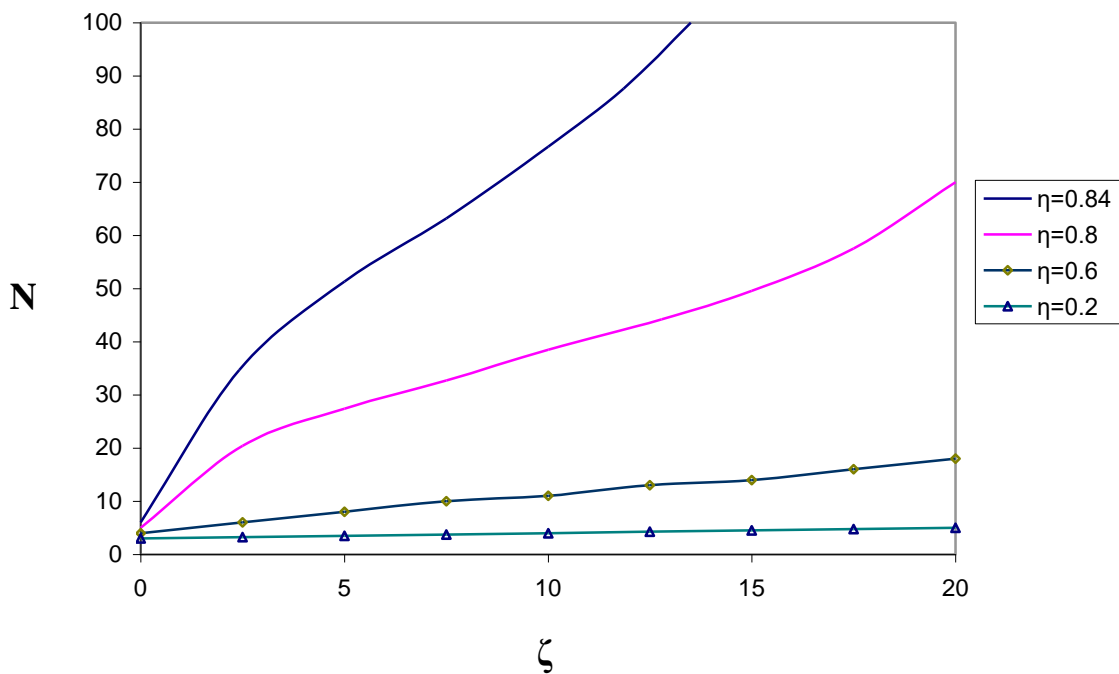
فمن الشكل (5) يمكن الملاحظة انه عندما يكون نصف القطر صغير للانبوب العازل ($\sigma=0.513$) فان المجال الكهربائي يكون في معظمه ثابت على طول عمود البلازما واصغر من 1 لقضيب المعدني (سواء كان السميك او الرفيع) داخل الانبوب. وعندما يكون الانبوب العازل اوسع ($\sigma=1.23$) فان المجال الكهربائي يكون اكبر من 1 ويقل بوضوح على طول مسار البلازما.

الاستنتاجات

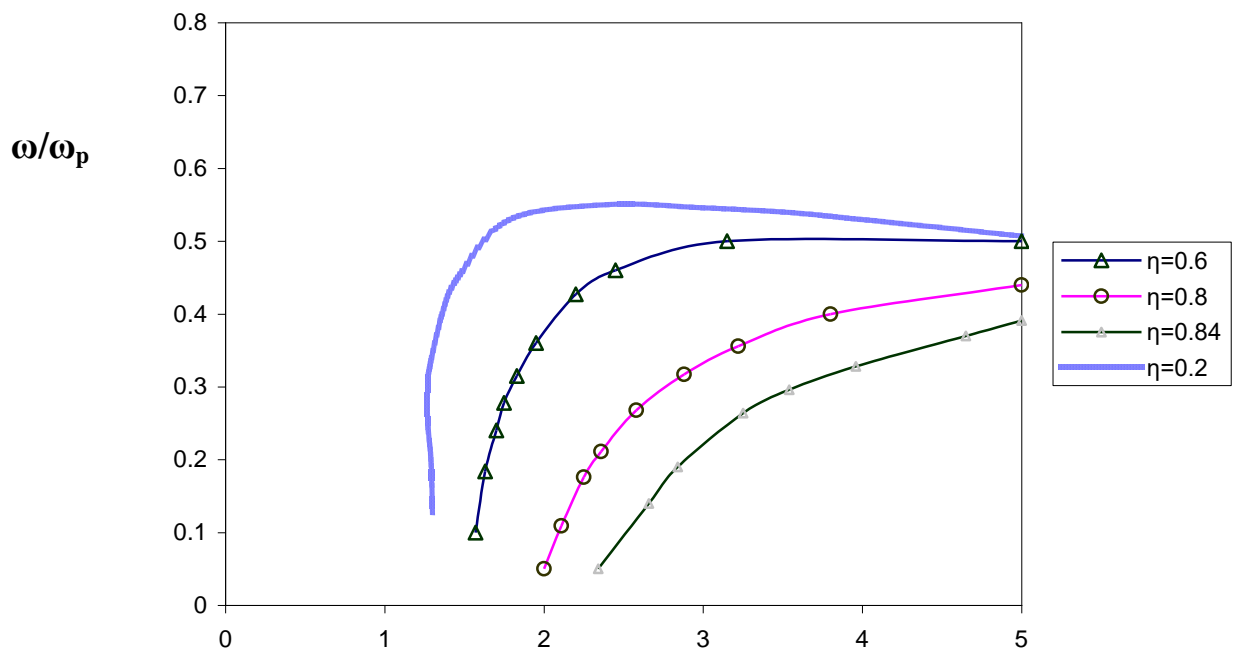
في هذا العمل تم الاستنتاج بان هنالك اعتمادا كبيرا جدا لخصائص البلازما ومعلوماتها على نصف قطر البلازما ونصف قطر القضيب المعدني داخل الانبوب العازل في منظومة التفريغ للمعدل الكهروحراري. حيث تم الاستنتاج بأنه من الممكن انتاج البلازما بكثافة رقم الكتروني اعلى بواسطة تغيير القضيب المعدني داخل الانبوب العازل بقضيب اخر ذي سمك اكبر من الاول. حيث ان افضل الظروف لانتاج البلازما بكثافة عالية يمكن الحصول عليها عندما تكون القيم σ و η عالية، اي ان الانبوب العازل يكون ذا نصف قطر كبير وان القضيب المعدني الداخلي يكون ذا نصف قطر كبير ايضا. وعلى العكس من ذلك فان اسوأ ظروف لانتاج البلازما وبكثافة اقل عندما يكون قطر الانبوب العازل صغيرا والقضيب المعدني يكون رفيعا في داخله. ولذلك فإنه بتغيير العوامل التصميمية لانبوب التفريغ في المعدل الكهروحراري فإنه يكون من الممكن الحصول على افضل معلمات التفريغ المحورية في البلازما.



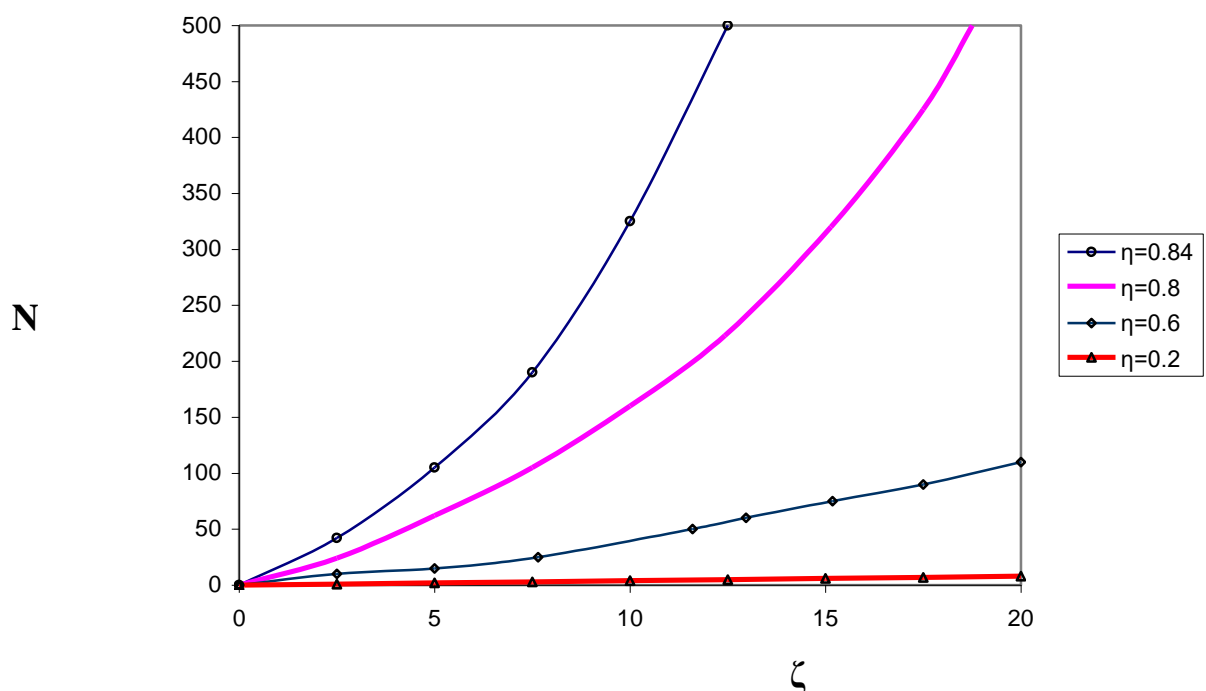
الشكل رقم 2-a يوضح العلاقة بين مخططات الطور عند $\sigma=0.513$, $\gamma=0.85$ و مختلف القيم لسمك القضيب المعدني



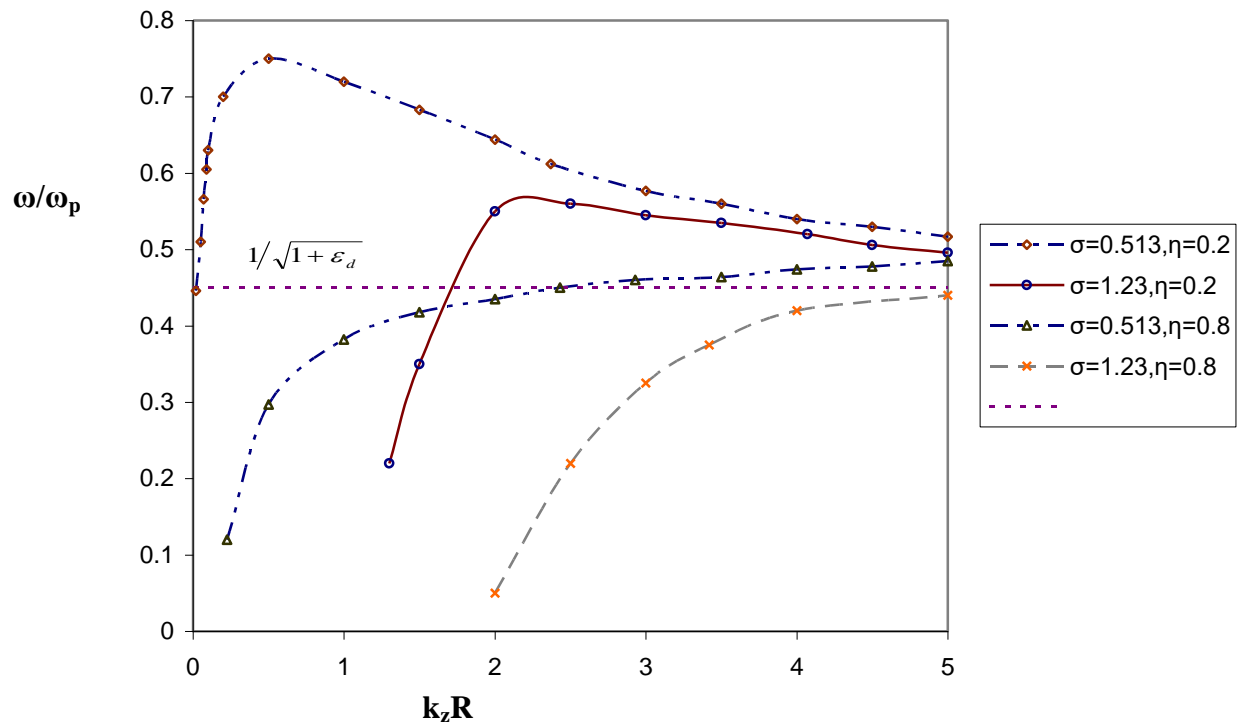
الشكل رقم 2-b يوضح العلاقة بين مظاهر مختلفة لكتافات البلازما المحورية عند $\sigma=0.513$, $\gamma=0.85$ و مختلف القيم لسمك القضيب المعدني



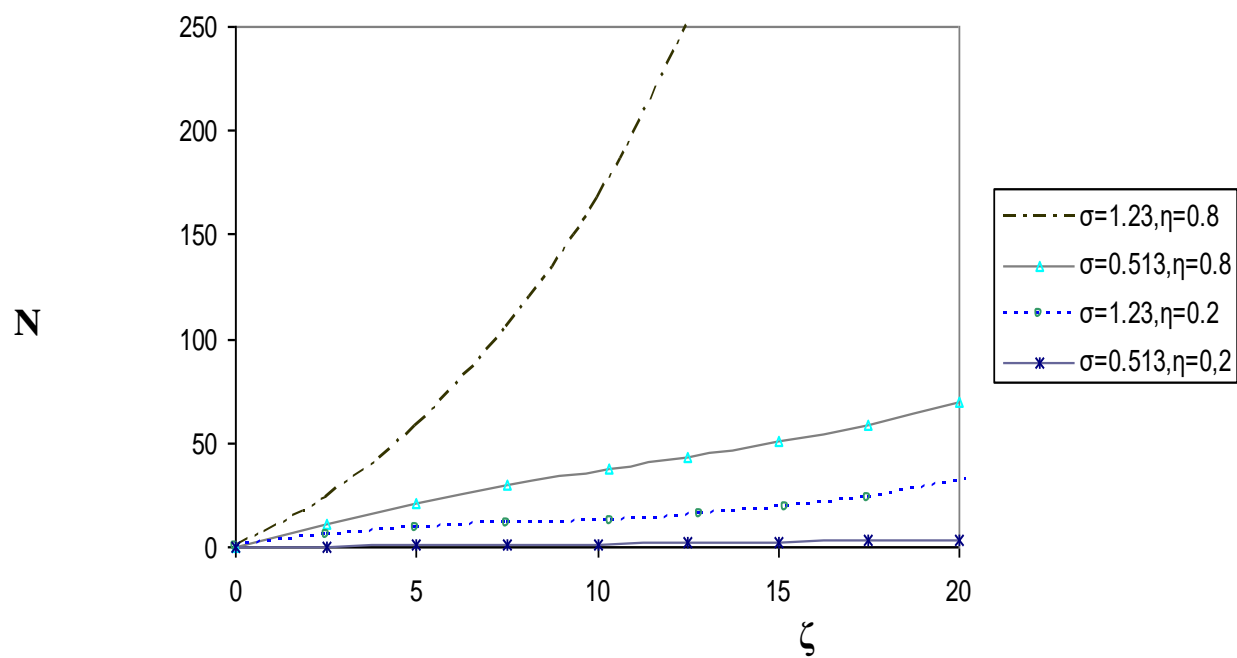
الشكل رقم 3-a يوضح العلاقة بين مخططان الطير عند $\sigma=1.23$ ، $\gamma=0.85$ و مختلف القيم لسمك القصيب المعدني



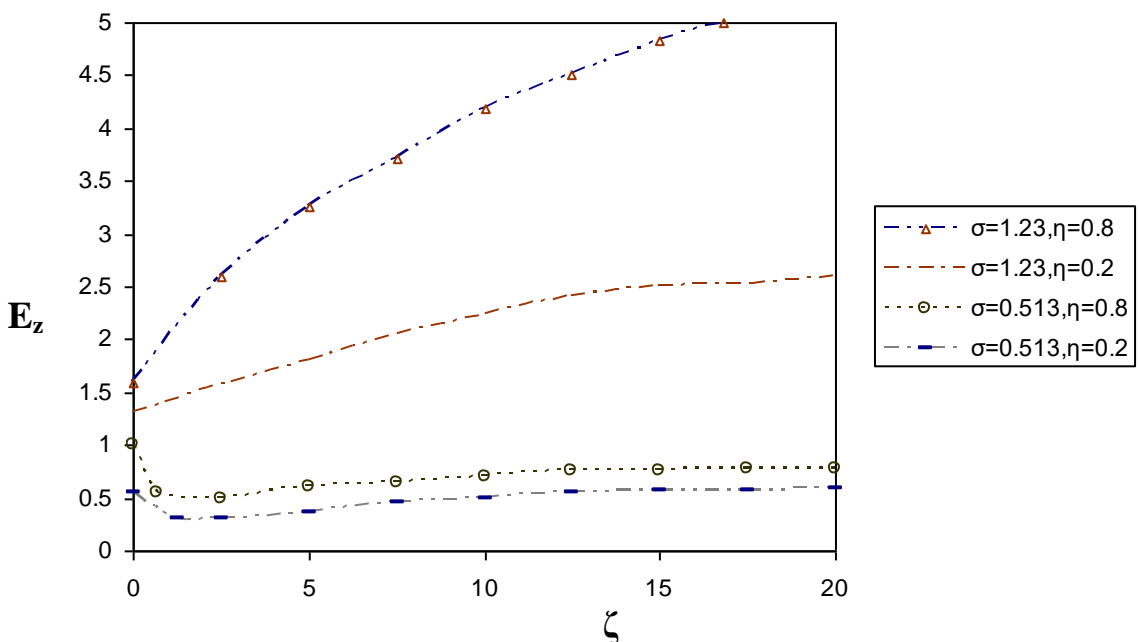
الشكل رقم 3-b يوضح العلاقة بين مظاهر مختلفة لكثافات البلازما المحورية عند $\sigma=1.23$ $\gamma=0.85$ ، و مختلف القيم لسمك القصيب المعدني



الشكل رقم 4-a يوضح العلاقة بين مخططات الطور عند $\gamma=0.85$ و مختلف القيم لانصاف اقطار البلازما و مختلف القيم لسمك القصيب المعدني



الشكل رقم 4-b يوضح العلاقة بين مظاهر مختلفة لكتافات البلازما المحورية عند $\gamma=0.85$ و مختلف القيم لانصاف اقطار البلازما و مختلف القيم لسمك القصيب المعدني



الشكل رقم 5 يوضح العلاقة بين مظاهر مختلفة لمركبة المحور- z للمجال الكهربائي عند $\gamma = 0.85$ و مختلف القيم لانصاف اقطار البلازما و مختلف القيم لسمك القصيب المعدني

References

- [1] Al-Zubaidi A.K., “Design and Performance of an Electrothermal Accelerator”, PhD. Thesis, College of Science, Al-Mustansiryah University, (2002).
- [2] Al-Zubaidi A.K., J. Wassit for Science and Medicine, Vol. 1, Issue 1, (29-41) (2008).
- [3] Al-Zubaidi A.K., Mehdi H.J., Proceeding of 3rd Scientific Conference, (2144-2150) (2009).
- [4] Letout S.M., Alves L.L., J. Optoelectronics and Advanced Materials, Vol.7, No.5, (2471-2475) (2005).
- [5] Rauchle E. F., J. Phys., Vol.8, Issue 7, (99-108) (1998).
- [6] Pencheva M.C., Benova E.K., Zhelyazkov I.N., J. Phys.: Conference Series 63, (012023, 6pages) (2007).
- [7] Ahedo E. I., Martinez C. P., J. Phys. Plasmas, Vol.8, No.6, (3058-3062) (2001).
- [8] Neichev Z.A. , Benova E.K., J. Vacuum, Vol.76, Issue 2-3, (393-396) (2004).
- [9] Alterkop B.N. , Gidalevich N.S., Goldsmith N.C., J. Phys. D: Applied Physics, Vol.41, No.2, (110-117) (2008).
- [10] Schneider R.M., Runov A.B., J. Plasma Physics and Controlled Fusion, Vol.49, No.3, (s87-s95) (2007).
- [11] Khatun H.A., Mishra A. R., Indian Journal of Pure & Applied Physics, Vol. 46, (889-892) (2008).
- [12] Azarenkov N.A. , Olefir V.P., 27th EPS Conference on Contr. Fusion and Plasma Phys. Budapest, ECA Vol. 24B(856-859) (2000).